

25 mars 2021

Variétés toriques affines associées à un cône (polyédral, rationnel, fortement convexe) de \mathbb{R}^n

torus $T \cong \mathbb{G}_m^m$, caractères $M \cong \mathbb{Z}^m$, caractères $N \cong \mathbb{Z}^n$
dualité parfaite $N \times M \rightarrow \mathbb{Z}$, $\langle n, m \rangle = \sum u_j m_j$

$$\sigma \subset N_{\mathbb{R}} = N \otimes_{\mathbb{Z}} \mathbb{R} \cong \mathbb{R}^n$$

$\sigma^\circ \subset M_{\mathbb{R}}$ cône polaire $\{ m \in M_{\mathbb{R}} \mid \langle n, m \rangle \leq 0 \ \forall n \in \sigma \}$
($\sigma^{\circ\circ} = \sigma$ dualité convexe)

$\sigma^\circ \cap M$ monoïde de type fini (lemme de Jordan)
 $k^{(\sigma^\circ \cap M)} \subset k^{(M)} \cong k[T_1^{\pm 1}, \dots, T_m^{\pm 1}]$
algèbre de ce monoïde

$X_\sigma = \text{Spec}(k^{(\sigma^\circ \cap M)})$ variété torique affine

$$T^U = \text{Spec}(k^{(M)})$$

Éventails (fan)

Déf. Un éventail est un ensemble fini Σ de cônes (dans $N_{\mathbb{R}}$) (fortement convexe rationnels polyédraux) tel que :

- 1) toute face d'un cône de Σ appartient à Σ
- 2) si $\sigma, \tau \in \Sigma$, $\sigma \cap \tau \in \Sigma$ et est une face de chacun des cônes σ, τ .

(= décomposition polyédrale conique)

support de l'éventail $|\Sigma| = \bigcup_{\sigma \in \Sigma} \sigma$

Exemples

1) $\sigma \subset N_{\mathbb{R}}$ cône, $\Sigma = \{ \text{face de } \sigma \}$



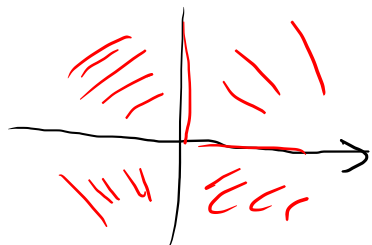
2) $N = \mathbb{Z}$



$\Sigma = \{ \mathbb{R}_-, \mathbb{R}_+, \{0\} \}$

3) Produits d'éventails Σ', Σ'' éventails de $N'_{\mathbb{R}}, N''_{\mathbb{R}}$
 $\rightsquigarrow \{ \sigma' \times \sigma'' \mid \sigma' \in \Sigma', \sigma'' \in \Sigma'' \}$
 est un éventail de $(N' + N'')_{\mathbb{R}}$.

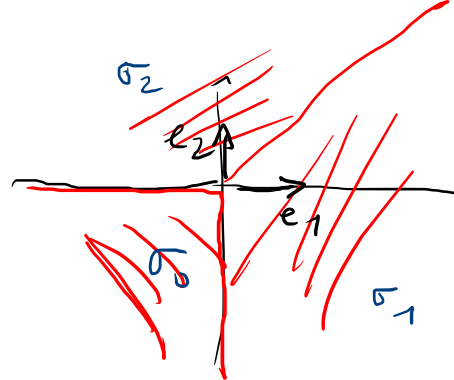
Ex.



4 cônes de dim 2
 1 face — 1
 1 cône — 0

$\pm \mathbb{R}_+ \times \pm \mathbb{R}_+$
 $\mathbb{R}_+ \times \{0\}, \dots$
 $\{0\}$

4)



Trois cônes de dim 2
 $\sigma_0 = \mathbb{R}^2 = \text{cone}(-e_1, -e_2)$

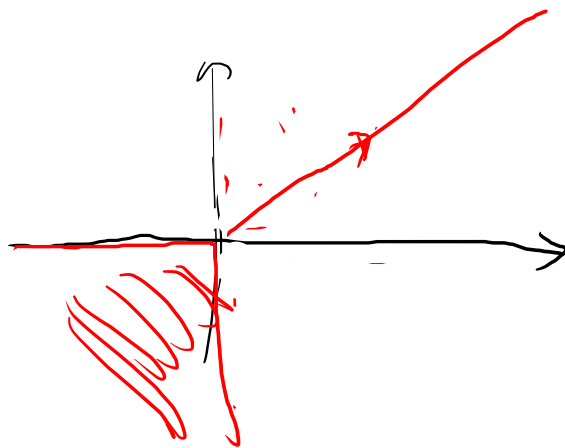
$\sigma_1 = \text{cone}(-e_2, e_1 + e_2)$

$\sigma_2 = \text{cone}(-e_1, e_1 + e_2)$

Trois rayons
 Un cône de dim 0 $\mathbb{R} - e_1, \mathbb{R} - e_2, \mathbb{R}_+(e_1 + e_2)$

Observation: Un éventail est déterminé par ses cônes maximaux

5)



· Un cône maximal de dim 2
 · ——— de dim 1.

· Deux autres cônes de dim 1
 $(\mathbb{R} - e_1, \mathbb{R} - e_2)$

Variété torique X_Σ associée à un éventail

On recolle les variétés X_σ , $\sigma \in \Sigma$

$\sigma, \tau \in \Sigma$
 $\sigma \cap \tau$ est une face de σ
 τ

$X_{\sigma \cap \tau}$ est un ouvert de X_σ
 et un ouvert de X_τ

$$j_{\sigma \cap \tau}^\sigma : X_{\sigma \cap \tau} \hookrightarrow X_\sigma$$

immersions ouvertes.

$$j_{\sigma \cap \tau}^\tau : X_{\sigma \cap \tau} \hookrightarrow X_\tau$$

$$V_{\sigma \tau} = j_{\sigma \cap \tau}^\sigma (X_{\sigma \cap \tau}) \subset X_\sigma$$

$$\varphi_{\sigma \tau} : V_{\tau \sigma} \xrightarrow{\sim} V_{\sigma \tau}$$

$$V_{\tau \sigma} = j_{\sigma \cap \tau}^\tau (X_{\sigma \cap \tau}) \subset X_\tau$$

condition de cycle

σ, τ, γ cônes de Σ

$$V_{\sigma \tau} \cap V_{\sigma \gamma}$$

$$\xleftarrow{\varphi'_{\sigma \tau}}$$

$$V_{\tau \sigma} \cap V_{\tau \gamma}$$

$$\xleftarrow{\varphi'_{\tau \gamma}}$$

$$V_{\gamma \sigma} \cap V_{\gamma \tau}$$

$$\varphi'_{\sigma \gamma} = \varphi'_{\sigma \tau} \circ \varphi'_{\tau \gamma}$$

(relation de cycle)

$$\varphi'_{\sigma \gamma}$$

Exemples

1) $\Sigma = \text{d faces d'un cône } \sigma \}$ $\leadsto X_\Sigma = X_\sigma$

2) $\xleftarrow{\sigma} \mathbb{Z} \xrightarrow{\sigma'}$ $\sigma^0 \cap \mathbb{Z} = \mathbb{N}$ $X_\sigma = \text{Spec}(\mathbb{K}[T]) \cong \mathbb{A}^1$

$(\sigma')^0 \cap \mathbb{Z} = -\mathbb{N}$ $X_{\sigma'} = \text{Spec}(\mathbb{K}[U]) \cong \mathbb{A}^1$ $U = T^{-1}$

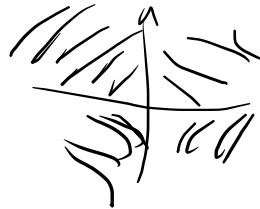
$(\tau)^0 \cap \mathbb{Z} = \mathbb{Z}$ $X_\tau = \text{Spec}(\mathbb{K}[T, T^{-1}])$

recidement : deux droites affines
recollées par l'inversion de leurs paramètres

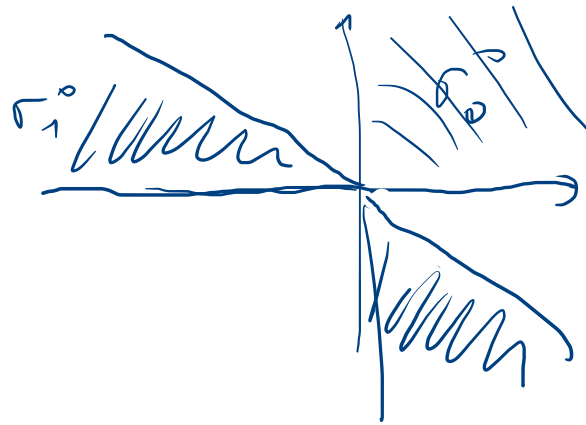
\mathbb{P}^1 droite projective

3) $X_{\Sigma' \times \Sigma''} = X_{\Sigma'} \times_{\mathbb{K}} X_{\Sigma''}$

$\mathbb{P}^1 \times \mathbb{P}^1$



4)



• $\sigma_0 = \mathbb{R}_-^2$ $\sigma_0^0 = \mathbb{R}_+^2$ $X_{\sigma_0} = \mathbb{A}^2 = \text{Spec}(\mathbb{k}[T_1, T_2])$

• $\sigma_1 = \text{cone}(-e_2, e_1 + e_2)$

$\sigma_1^0 \quad \begin{cases} -m_2 \leq 0 \\ m_1 + m_2 \leq 0 \end{cases}$

rays: $\begin{pmatrix} -1, 0 \\ -1, 1 \end{pmatrix}$

$X_{\sigma_1} = \text{Spec}(\mathbb{k}[T_1^{-1}, T_1^{-1}T_2]) \simeq \mathbb{A}^2$

• $\sigma_2^0 \quad \begin{cases} -m_1 \leq 0 \\ m_1 + m_2 \leq 0 \end{cases}$

rays $\begin{pmatrix} 0, -1 \\ 1, -1 \end{pmatrix}$

$X_{\sigma_2} = \text{Spec}(\mathbb{k}[T_2^{-1}, T_2^{-1}T_1])$

recollection : plan projectif $\mathbb{P}^2 = \text{Proj}(\mathbb{k}[T_0, T_1, T_2])$

X_{σ_0} $(T_0=1)$

X_{σ_1} $(T_1=1)$

X_{σ_2} $(T_2=1)$

$\text{Spec}(\mathbb{k}[\frac{T_0}{T_1}, \frac{T_2}{T_1}])$

$\text{Spec}(\mathbb{k}[\frac{T_0}{T_2}, \frac{T_1}{T_2}])$

In dimension n : \mathbb{R}^n base canonique (e_1, \dots, e_n)
 $e_0 = e_1 + \dots + e_n$

$n+1$: cones: $\ast \mathbb{P}^n = \text{cone}(-e_1, \dots, -e_n)$ (σ_0)

$\ast 1 \leq j \leq n$: cone $(-e_1, \dots, \widehat{-e_j}, \dots, -e_n, e_0)$
 $(\uparrow \text{enlevé})$ (σ_j)

recollement: espace projectif de dim n $\mathbb{P}^n = \text{Proj}(\mathbb{R}[T_0, \dots, T_n])$
 vu par ses $(n+1)$ ouverts principaux $\cong \mathbb{A}^n$

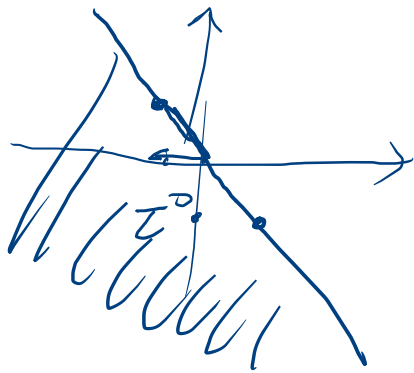
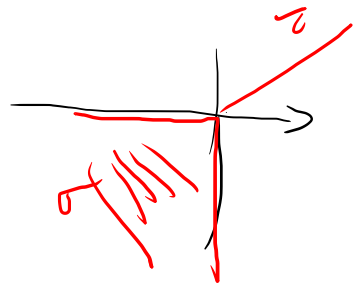
$$X_{\sigma_0} \cong \mathbb{A}^n$$

$$T_0 = 1$$

$$X_{\sigma_j} \cong \mathbb{A}^n$$

$$T_j = 1$$

5)



- $X_\sigma \cong \mathbb{A}^2 = \text{Spec}(\mathbb{R}[T_1, T_2])$

- $X_\tau \cong$

$$\tau = \mathbb{R}_T(1, 1)$$

$$\tau^0 : m_1 + m_2 \leq 0$$

engendré par

$$(-1, 1), (1, -1), (0, -1), (-1, 0)$$

$$\mathbb{R}[T_1^{-1}T_2, T_1T_2^{-1}, T_1^{-1}, T_2^{-1}]$$

$$\cong \mathbb{A}^1 \times \mathbb{G}_m$$

la variété obtenue est contenue dans \mathbb{P}^2 .

complémentaire de Γ ? (exercice)

Proposition: Pour tout $x \in X_\Sigma$, il existe un plus petit cône $\sigma \in \Sigma$ tel que $x \in X_\sigma$

↳ preuve: On choisit σ minimal tel que $x \in X_\sigma$
soit $\tau \in \Sigma$ tel que $x \in X_\tau$
Prouvons que $\sigma \subset \tau$.

Si non $\sigma \cap \tau$ est une face de σ (distincte de σ)
et $X_{\sigma \cap \tau}$ est un ouvert de X_Σ qui s'identifie à $X_\sigma \cap X_\tau$
Il contient x (car $x \in X_\sigma$ et $x \in X_\tau$)
ce qui contredit le choix de σ ($\sigma \cap \tau \subset \sigma$)

Théorème: 1) X_Σ est un schéma séparé
2) X_Σ est propre si et seulement si $|\Sigma| = N_R$.

Remarque: X_Σ est affine si et seulement si Σ a un unique cône maximal
(à vérifier)

Preuve

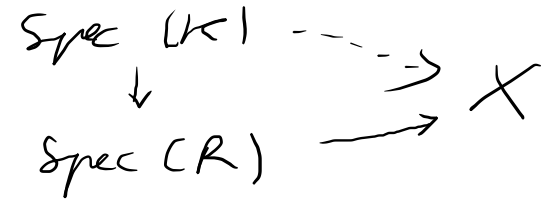
Critères valuatifs de séparation / de propriété.

cf. Mumford
Red Book of
Varieties & Schemes)

Un k -schéma (de type fini) X est séparé, resp. propre
 si et seulement si
 pour toute k -algèbre R qui est un anneau de valuation discrète,
 de corps de fractions K ,
 l'application "évidente"

$$X(R) \longrightarrow X(K)$$

 est injective, resp. bijective.



Observation:

① des schémas affines sont séparés.

$$X(R) = \text{Hom}_k(A, R)$$

$$\downarrow$$

$$X(K) = \text{Hom}_k(A, K)$$

$$X = \text{Spec}(A)$$

$$(R \subset K)$$

② $\text{Spec}(R) = \{ (0), \underline{m} \}$

↳ idéal maximal de R .

$$f: \text{Spec}(R) \rightarrow X$$

ouvert U de X contenant

alors

f se factorise par $U \xrightarrow{f(\underline{m})}$

(continuité de f)

③ Si U est un ouvert dense donné de X ,
 il suffit de prouver que tout élément de $U(\mathbb{K})$
 a au plus, resp exactement, un antécédent dans $X(\mathbb{R})$

$$\begin{array}{ccc} X(\mathbb{R}) & \longrightarrow & X(\mathbb{K}) \\ & & \cup \\ & \dashrightarrow & U(\mathbb{K}) \end{array}$$

Alors : • la séparation va se déduire de l'existence d'un plus
 petit cône $\sigma \in \Sigma$ tel que X_σ contient un point donné
 et que X_σ est affine.

• la propriété :

$\lambda : \mathbb{G}_m \rightarrow T$ caractéristique, associé à un élément $n \in \mathbb{N}$.

$$M \rightarrow k[T, T^{-1}]^X \quad m \mapsto T^{\langle n, m \rangle}$$

λ se prolonge-t-il en $\bar{\lambda} : \mathbb{A}^1 \rightarrow X_\Sigma$
 si c'est le cas : $\bar{\lambda}(0) \in X_\Sigma$ $\sigma \in \Sigma$ tel que $\bar{\lambda}(0) \in X_\sigma$

$$\begin{array}{ccc} \bar{\lambda} : \mathbb{A}^1 \rightarrow X_\sigma & \sigma^\circ \cap M & \rightarrow (k[T], x) \\ & \cap & \cap \\ & M & \rightarrow k[T, T^{-1}] \end{array}$$

Cela signifie que $\langle n, m \rangle \geq 0$ si $m \in \sigma^\circ \cap M$
 Comme σ° est un cône polyédral rationnel

$$\langle -n, m \rangle \leq 0 \quad \forall m \in \sigma^\circ$$

$$-n \in \sigma^{\circ\circ} = \sigma$$

$$\boxed{-n \in \sigma}$$

Conclusion: $\lambda : \mathbb{Q}_m \rightarrow T$ (associé à $n \in N$)
 se prolonge en $\tilde{\lambda} : A^1 \rightarrow X_\Sigma$
 si et seulement si $-n \in |\Sigma|^\vee$

Prop. (fonctorialité des variétés toriques)

T, T' tores M, M' caractères N, N' co-caractères
 Σ, Σ' éventails dans $N_{\mathbb{R}}, N'_{\mathbb{R}}$

$f : T \rightarrow T'$ morphisme de tores \leftrightarrow $v : N \rightarrow N'$
 $v_{\mathbb{R}} : N_{\mathbb{R}} \rightarrow N'_{\mathbb{R}}$

Pour que f se prolonge en un morphisme $\tilde{f} : X_\Sigma \rightarrow X_{\Sigma'}$
 il est suffisant que pour tout cône $\sigma \in \Sigma$
 il existe un cône $\sigma' \in \Sigma'$ tel que $v_{\mathbb{R}}(\sigma) \subset \sigma'$

(Un tel prolongement est alors unique)

variétés toriques à un polytope $P \subset M_{\mathbb{R}}$

P polyèdre de $M_{\mathbb{R}}$

\rightsquigarrow éventail normal Σ_P dont les cônes sont les $N_F(P) = (P-F)^\circ$ où F parcourt l'ensemble des faces de P

une normal à P le long de F

NB $(P-F)^\circ = \{ f \in N_{\mathbb{R}}, f(x) \leq f(y) \quad \forall x \in P, \forall y \in F \}$
= formes linéaires qui sont majorés sur P et atteignent leur maximum sur F

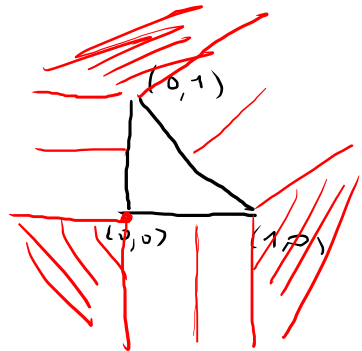
support de $\Sigma_P =$ formes linéaires majorés sur P

si P est un polytope : $|\Sigma_P| = N_{\mathbb{R}}$ éventail complet

si $\dim(P) = \text{rg}(M) = \dim(M_{\mathbb{R}})$ - les cônes normaux $N_F(P)$ sont fortement convexes

si P est rationnel, les cônes normaux sont rationnels.

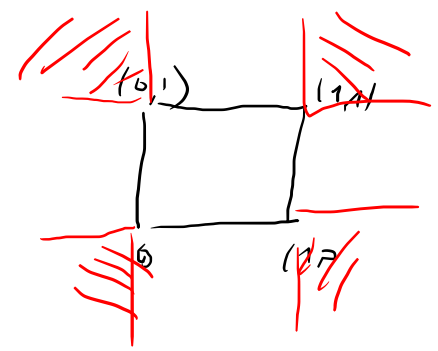
Exemples 1)



Éventail de \mathbb{P}^2 .

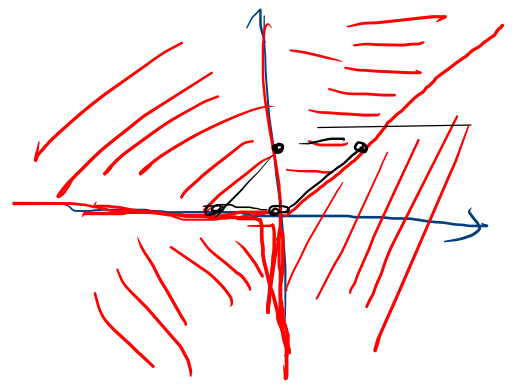
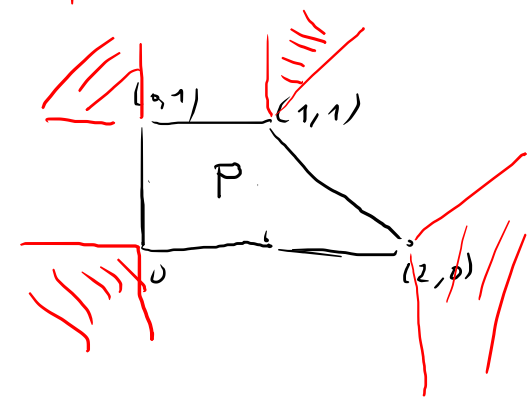
$$P = \Delta_n = \text{conv}(0, e_1, \dots, e_n) \subset \mathbb{R}^n \rightsquigarrow \text{éventail de } \mathbb{P}^n.$$

2)



Éventail de $\mathbb{P}_1 \times \mathbb{P}_1$

3)



raffinement de l'éventail de \mathbb{P}^2

$$\begin{array}{ccc} X_P & \xrightarrow{f} & \mathbb{P}^2 \\ \cup & & \cup \\ \mathbb{C}_m^2 & \xlongequal{\quad} & \mathbb{C}_m^2 \end{array}$$

f est l'éclatement de \mathbb{P}^2 au point $[0:1:0]$

P polytope à sommets entiers

$S = P \cap M \quad m \in S \Leftrightarrow$ caractère $\chi_m : T \rightarrow \mathbb{G}_m$

$$\chi_S : T \rightarrow \mathbb{G}_m^S \xrightarrow{\quad} \mathbb{P}_S \xrightarrow{\quad} \mathbb{P}_{\text{Card}(S)-1}$$

\mathbb{P}_S is the projective space of characters, with a point P corresponding to the polytope P .

$$[z_1, \dots, z_r] \rightarrow [z_1 : \dots : z_r]$$

$$\mathbb{G}_m^r \rightarrow \mathbb{P}_{r-1}$$

Variété torique $X_S =$ adhérence de Zariski de $\chi_S(T)$ dans \mathbb{P}_S

χ_S se prolonge de manière unique en $f : X_P \rightarrow X_S \subset \mathbb{P}_S$.

$S \ni v$ sommet de P
 $\sigma_v = N_v(P) = \{ \text{forme linéaire } \varphi \text{ sur } M, R \text{ tq } \sup_P \varphi = \varphi(v) \}$

$\Rightarrow \forall s \in S, s - v \in \sigma_v^\circ$

$\chi_S \chi_v^{-1}$ se prolonge en $X_v \rightarrow \mathbb{A}^1$

$$T \rightarrow \mathbb{G}_m^S \rightarrow \mathbb{P}_S$$

$$X_v \xrightarrow{\text{se prolonge}} \bigcup_{s \in S} \mathbb{A}^{(s-v)} = [\chi_S(t) \chi_v(t)^{-1}]_{s \in S}$$

Fait : Si P est "assez grand"

alors $X_P \rightarrow X_S$

(par exemple si on remplace P par
un multiple assez grand nP)

est un isomorphisme .

Paragraphe : décomposition de X_Σ en orbites du tore .